

# IX. Das Standardmodell der Teilchenphysik

(IX.1)

## 1) Einleitung

Eichtheorie mit Eichgruppe  $G = \underbrace{SU(3) \times SU(2) \times U(1)}_{\text{elektroschw. Wv.}}$

↑  
starke Wv.

Beschränken hier nur elektroschw. Wv. mit  $G_{\text{ew}} = SU(2) \times U(1)$   
Glashow - Weinberg - Salam

Fermionische Multiplets chiral:

$SU(2)$ -Doublets linkshändig,

$SU(2)$ -Singlets rechtsfähig (schwache)

Die mit  $U(1)$  verbundene Ladung heißt Hyperladung  $Y$

$$G_{\text{ew}} = SU(2)_L \times U(1)_Y, \quad G = SU(3)_C \times SU(2)_L \times U(1)_Y$$

$$\bar{\psi}_L \psi_L = \bar{\psi}_R \psi_R = 0, \quad \bar{\psi}_L \gamma^\mu \psi_R = \bar{\psi}_R \gamma^\mu \psi_L = 0$$

Beweis:  $\bar{\psi}_L \psi_L = (\underline{P}_L \psi_L)^+ \gamma_0 \psi_L = \psi_L^+ \underline{P}_L \gamma_0 \psi_L =$   
 $= \psi_L^+ \gamma_0 \underline{P}_R \psi_L = \bar{\psi}_L \underbrace{\underline{P}_R \psi_L}_0 = 0, \text{ etc. } \square \quad \%$

## 2) Multiplets und Lagrangefunktion

### a) Multiplets

Eichfelder:  $G_{\text{ew}} = SU(2) \times U(1)$

$$W_\mu^\alpha \quad B_\mu$$

$\alpha = 1, 2, 3$

Fermionmultiplets:

$q_{Lj} \quad u_{Rj} \quad d_{Rj}$  Quarks

Drei Familien  $\rightarrow j = 1, 2, 3$

$\ell_{Lj} \quad \nu_{Rj} \quad e_{Rj}$  Leptonen

Higgsdublett:

$\phi$

skalares  
Feld

## % SSB im SM:

$$G = \text{SU}(3)_c \times \text{SU}(2)_L \times \text{U}(1)$$

$\text{SU}(N)$ :  $N^2 - 1$  Generatoren

$\text{SU}(3)_c$ : 8 Generatoren, ungebrochen  $\Rightarrow$   
 8 masselose Vektorboson (Gluonen)  
 Confinement der Colour: keine freien  
 Gluonen (und Quarks)

$$\text{SU}(2)_L \times \text{U}(1)_Y \xrightarrow{\text{SSB}} \text{U}(1)_{\text{em}}$$

$$3 + 1 = 4$$

# Generatoren                                    ein Generator

$\Rightarrow$  3 massive Vektorbosonen:  $W^\pm, Z^0$

1 masseloses Vektorboson:  $\gamma$  (Photon)

### b) Eichtransformation

$SU(2)$ :  $U \in SU(2)$ ,  $\psi$  steht für Fermionmultiplets  
 $\psi \rightarrow U\psi$  für Doublets,  $\psi \rightarrow \psi$  für Singlets

$$\phi \rightarrow U\phi$$

$$\vec{W}_\mu \cdot \frac{\vec{\tau}}{2} \rightarrow U \vec{W}_\mu \cdot \frac{\vec{\tau}}{2} U^{-1} + \frac{i}{g} (\partial_\mu U) U^{-1}$$

$$B_\mu \rightarrow B_\mu$$

$$U(1): \psi \rightarrow e^{-i\alpha Y_\psi/2} \psi$$

$$\phi \rightarrow e^{-i\alpha Y_\phi/2} \phi$$

$$\vec{W}_\mu \rightarrow \vec{W}_\mu$$

$$B_\mu \rightarrow B_\mu + \frac{1}{g'} \partial_\mu \alpha$$

Def.  $\tilde{\phi} = \underbrace{i\tau_2}_{\varepsilon} \phi^* \Rightarrow \tilde{\phi} \rightarrow U\tilde{\phi}$  wegen  $\varepsilon U^* = U \varepsilon$

$$i\tau_2 = \varepsilon = \begin{pmatrix} 0 & 1 \\ -1 & 0 \end{pmatrix} \quad \tilde{\phi} \rightarrow e^{i\alpha Y_\phi/2} \tilde{\phi}$$

### c) Lagrangefunktion des SMs

$$\mathcal{L} = \mathcal{L}_{ew} + \mathcal{L}_{QCD}$$

$$\mathcal{L}_{ew} = \mathcal{L}_W + \mathcal{L}_B + \sum_{\psi} \mathcal{L}_\psi + \mathcal{L}_\phi + \mathcal{L}_{Yuk} - V$$

Eichfelder:

$$\mathcal{L}_W = -\frac{1}{4} \sum_{a=1}^3 F_{\mu\nu}^a F^{a\mu\nu} \quad \text{mit } F_{\mu\nu}^a = \partial_\mu W_\nu^a - \partial_\nu W_\mu^a - g \epsilon_{abc} W_\mu^b W_\nu^c$$

$$\mathcal{L}_B = -\frac{1}{4} F_{\mu\nu}^{(B)} F^{(B)\mu\nu} \quad \text{mit } F_{\mu\nu}^{(B)} = \partial_\mu B_\nu - \partial_\nu B_\mu$$

# Kinetischer Term und Eichinv der Fermionen:

(IX-3)

$$\mathcal{L}_\psi = i \bar{\psi} \gamma^\mu D_\mu \psi \quad \text{mit} \quad D_\mu = \partial_\mu + ig \vec{T} \cdot \vec{W}_\mu + ig' \frac{1}{2} Y B_\mu$$

$$\vec{T} = \begin{cases} \frac{\vec{\epsilon}}{2} & \text{Doublets} \\ 0 & \text{Singlets} \end{cases}$$

# Kinetischer Term und Eichinv des skalaren Doublets:

$$\mathcal{L}_\phi = (D_\mu \phi)^+ (D^\mu \phi)$$

## Yukawa-Kopplungen:

$$- \mathcal{L}_{\text{yuk}} = \bar{q}_{Li} \phi d_{Rj} \Gamma_{ij}^{(q)} + \bar{q}_{Li} \tilde{\phi} u_{Rj} \Delta_{ij}^{(q)} + \bar{l}_{Li} \phi e_{Rj} \Gamma_{ij}^{(e)} + \bar{l}_{Li} \tilde{\phi} \nu_{Rj} \Delta_{ij}^{(e)} + \text{H.c.}$$

Hyperladungen müssen noch festgelegt werden!

$$\text{Skalares Potential: } V = \mu^2 \phi^\dagger \phi + \gamma (\phi^\dagger \phi)^2$$

Bem.: Keine Massenterme erlaubt außer für  $\phi$ !  
Ursprünglich im SM keine  $\nu_R \Rightarrow m_\nu = 0$

## 3) SSB und $U(1)_{\text{em}}$

$\mu^2 < 0$ , Eichinvarianz  $\Rightarrow$  o.B.d.A.

$$\text{VEV von } \phi \equiv \langle \phi \rangle_0 = \frac{v}{\sqrt{2}} \begin{pmatrix} 0 \\ 1 \end{pmatrix}$$

mit  $v > 0$

Mit  $Y_\phi = 1$  können alle  $Y_\psi$  so gewählt

werden, dass gewünschte elektrische Ladungen den Fermionen und Vektorbosonen zugeordnet werden können.

Welche Eichnefo lässt VEV invariant?

IX, 4

$$e^{-i\beta \left(\frac{\tau_3}{2} + \frac{1}{2}\mathbf{1}_2\right)} \begin{pmatrix} 0 \\ 1 \end{pmatrix} = \begin{pmatrix} 0 \\ 1 \end{pmatrix} \text{ wegen } \frac{\tau_3}{2} + \frac{1}{2}\mathbf{1} = \begin{pmatrix} 1 & 0 \\ 0 & 0 \end{pmatrix}$$

$\beta \in \mathbb{R}$

$U(1)_{em}$  erhalten  $\Rightarrow$  Generator  $Q = T_3 + \frac{1}{2}Y$

$$Q(\phi) = \begin{pmatrix} 1 & 0 \\ 0 & 0 \end{pmatrix} \Rightarrow \phi = \begin{pmatrix} \phi^+ \\ \phi^0 \end{pmatrix}$$

$$G_{ew} \xrightarrow{SSB} U(1)_{em}$$

Singlets:  $T_3 = 0 \Rightarrow \frac{1}{2}Y_\psi = Q_\psi$

$$\frac{1}{2}Y_{u_R} = \frac{2}{3}, \frac{1}{2}Y_{d_R} = -\frac{1}{3}, \frac{1}{2}Y_{\nu_R} = 0, \frac{1}{2}Y_{e_R} = -1$$

$$\mathcal{L}_{Yuk}: \bar{q}_L \phi d_R \Rightarrow -Y_{q_L} + Y_\phi + Y_{d_R} = 0 \Rightarrow Y_{q_L} = 1 - \frac{2}{3} = \frac{1}{3}$$

Probe:  $\bar{q}_L \tilde{\phi} u_R$

$$-\frac{1}{3} - 1 + \frac{4}{3} = 0 \checkmark$$

$$Y_{q_L} = \frac{1}{3}, Y_{l_L} = -1 \Rightarrow q_L = \begin{pmatrix} u_L \\ d_L \end{pmatrix}, l_L = \begin{pmatrix} \nu_L \\ e_L \end{pmatrix}$$

$$Q(q_L) = \frac{T_3}{2} + \frac{1}{6}\mathbf{1}_2 = \begin{pmatrix} \frac{2}{3} & 0 \\ 0 & -\frac{1}{3} \end{pmatrix}$$

$$Q(l_L) = \frac{T_3}{2} - \frac{1}{2}\mathbf{1}_2 = \begin{pmatrix} 0 & 0 \\ 0 & -1 \end{pmatrix}$$

#### 4) Vektorbosonmassen

IX-5

Ladungen der Eichbosonen:

$B_\mu$  koppelt nicht an Eichbosonen  $\Rightarrow Y_B = 0$

$B_\mu$  SU(2)-Singlett  $\Rightarrow \underline{Q_B} = 0$

$\vec{W}_\mu$  in adjung. Darstellung der SU(2):  $Y_W = 0$

$$T_3 = (-i\varepsilon_{3ab}) = -i \begin{pmatrix} 0 & 1 & 0 \\ -1 & 0 & 0 \\ 0 & 0 & 0 \end{pmatrix} = Q_W$$

$\vec{e}_3, \vec{e}_\pm = \frac{1}{\sqrt{2}} \begin{pmatrix} 1 \\ \pm i \\ 0 \end{pmatrix}$  Eigenvektoren von  $Q_W$

$$\vec{W} = W^3 \vec{e}_3 + W^+ \vec{e}_+ + W^- \vec{e}_-, \quad W_\pm = \vec{e}_\pm^\dagger \vec{W}$$

$$W^+ = \frac{W^1 - iW^2}{\sqrt{2}}, \quad W^- = \frac{W^1 + iW^2}{\sqrt{2}}$$

Massen der Eichboson: Higgs-Mechanismus

$$D_\mu \phi = (\partial_\mu + ig \frac{\tau}{2} \cdot \vec{W}_\mu + ig' \frac{1}{2} B_\mu) \phi$$

$$\frac{1}{2} (\tau^1 W^1 + \tau^2 W^2) = \frac{1}{\sqrt{2}} \begin{pmatrix} 0 & W^+ \\ W^- & 0 \end{pmatrix}$$

Massen von VEV  $\Rightarrow$

$$D_\mu \langle \phi \rangle_0 = \frac{iV}{\sqrt{2}} \left\{ \frac{g}{\sqrt{2}} W_\mu^+ \begin{pmatrix} 1 \\ 0 \end{pmatrix} + \frac{1}{2} (-g W_\mu^3 + g' B_\mu) \begin{pmatrix} 0 \\ 1 \end{pmatrix} \right\}$$

$$\text{Eichbosonmassenterm} = (D_\mu \langle \phi \rangle_0)^+ (D^\mu \langle \phi \rangle_0) =$$

$$= \frac{g^2 V^2}{4} W_\mu^+ W^{-\mu} + \frac{V^2}{8} (-g W_\mu^3 + g' B_\mu)(-g W^{3\mu} + g' B^\mu)$$

Weinbergwinkel  $\equiv$  schw. Richtungswinkel:

IX.6

$$\cos \theta_W = \frac{g}{\sqrt{g^2 + g'^2}}, \quad \sin \theta_W = \frac{g'}{\sqrt{g^2 + g'^2}}$$

$$\frac{v^2}{8} (-g W^3 + g' B)^2 = \frac{(g^2 + g'^2)v^2}{8} (-c_W W^3 + s_W B)^2$$

Physikalische Vektorbosonen  $Z$  ( $Z^0$ -Feld),  $A$  (Photonfeld):

$$\begin{pmatrix} Z \\ A \end{pmatrix} = \begin{pmatrix} c_W & -s_W \\ s_W & c_W \end{pmatrix} \begin{pmatrix} W^3 \\ B \end{pmatrix} \quad m_A^2 = 0$$

$$\text{Eichbosonmassenterm} = m_W^2 W_\mu^+ W^\mu_- + \frac{1}{2} m_Z^2 Z_\mu Z^\mu$$

$$\frac{m_W}{m_Z} = \cos \theta_W$$

$$m_W^2 = \frac{g^2 v^2}{4}, \quad m_Z^2 = \frac{(g^2 + g'^2)v^2}{4}$$

5) Allgemeine kovariante Ableitung mit physikalischen Vektorbosonen

$$D_\mu = \partial_\mu + \frac{ig}{\sqrt{2}} (T_+ W_\mu^+ + T_- W_\mu^-) + ig T_3 W_\mu^3 + ig' \frac{1}{2} Y B_\mu$$

$$T_\pm = T_1 \pm i T_2 = \begin{cases} 0 & \text{für Singlets} \\ \begin{pmatrix} 0 & 1 \\ 0 & 0 \end{pmatrix}, \begin{pmatrix} 0 & 0 \\ 1 & 0 \end{pmatrix} & \text{für Doublets} \end{cases}$$

$$g T_3 w^3 + g' \frac{1}{2} Y B = g T_3 (c_w Z + s_w A) + g' \frac{1}{2} Y (-s_w Z + c_w A)$$

$$= (g T_3 c_w - g' \frac{1}{2} Y s_w) Z + (g T_3 s_w + g' \frac{1}{2} Y c_w) A =$$

$g s_w = g' c_w$

$$= [g T_3 c_w - g' (Q - T_3) s_w] Z + g s_w Q A$$

$g s_w = e$

$$g, g' \leftrightarrow e, \theta_W$$

$g = \frac{e}{s_w}, g' = \frac{e}{c_w}$

$$g' s_w = \frac{g s_w^2}{c_w}, \quad g c_w + g' s_w = g c_w + g \frac{s_w^2}{c_w} = \frac{g}{c_w}$$

$D_\mu = \partial_\mu + \frac{ig}{\sqrt{2}} (T_+ W_\mu^+ + T_- W_\mu^-) + \frac{ig}{c_w} (T_3 - s_w^2 Q) Z_\mu + ie Q A_\mu$

↓  
gebardener Strom

↓  
neutraler Strom  
↓  
einf. W.W.

z.B.  $\nu_\mu + p \rightarrow \nu_\mu + p$

Streuexperimente  $\rightarrow \theta_W$ ,  $\mu$ -Zerfall  $\rightarrow m_W \Rightarrow m_Z$ -Vorhersage

## 6) Fermionmassen

1983 am CERN  $W^\pm, Z^0$  nachgewiesen

$- \mathcal{L}_{Yuk} \xrightarrow{VEV} \bar{d}_L M_d d_R + \bar{u}_L M_u u_R + \bar{e}_L M_e e_R + \bar{\nu}_L M_\nu \nu_R$

$$\phi \rightarrow \frac{v}{\sqrt{2}} \begin{pmatrix} 0 \\ 1 \end{pmatrix}$$

+ H.c.

$$\tilde{\phi} \rightarrow \frac{v}{\sqrt{2}} \begin{pmatrix} 1 \\ 0 \end{pmatrix}$$

$M_d = \frac{v}{\sqrt{2}} \Gamma^{(q)}, M_u = \frac{v}{\sqrt{2}} \Delta^{(q)},$

$M_e = \frac{v}{\sqrt{2}} \Gamma^{(e)}, M_\nu = \frac{v}{\sqrt{2}} \Delta^{(e)}$

Theorem: M beliebige komplexe  $n \times n$ -Matrix

IX.8

$\Rightarrow \exists$  unitäre  $n \times n$ -Matrizen  $U_L, U_R$ , so dass

$$U_L^+ M U_R = \hat{M} \text{ diagonal und positiv}$$

Anwendung: phys. Felder  $d_L'$ ,  $d_R'$   
(Masseneigenfelder)

$$d_L = \underbrace{U_L^d}_{R} d_L' \quad (\text{Masseneigenfelder})$$

$$\underbrace{\bar{d}_L^d M_d d_R + \bar{d}_R^d M_d^+ d_L}_{= (d_L' + d_R')} = \bar{d}_L' \hat{m}_d d_R' + \bar{d}_R' \hat{m}_d d_L' =$$
$$= \bar{d}' \hat{m}_d d' = \underbrace{m_d \bar{d} d + m_s \bar{s} s + m_b \bar{b} b}_{\text{phys. Quarkfelder (Dirac-Felder!)}}$$

$$d' = \begin{pmatrix} d \\ s \\ b \end{pmatrix} \quad \text{phys. Quarkfelder (Dirac-Felder!)}$$

Bem.: Fundamentale fermionische Bausteine  
des SMs chirale Felder, L und R in  
verschiedenen Multiplets!

Am Ende noch das normale Diracfelder!

Neutrinos: haben Dirac-Natur angenommen,  
weil  $\gamma_{\nu_R} = 0$  könnte man auch Majorana-  
Massenterm basteln.

$L_{Yuk} \rightarrow$  Massen an Fermionen

## 7) Der gebadene Strom

$$\mathcal{L}_{cc} = -\frac{g}{\sqrt{2}} \sum_{\psi} \bar{\psi} g^{\mu} (T_+ W_{\mu}^+ + T_- W_{\mu}^-) \psi$$

Singlets tragen nicht bei, nur  $q_L = \begin{pmatrix} u_L \\ d_L \end{pmatrix}$ ,  $\ell_L = \begin{pmatrix} \nu_L \\ e_L \end{pmatrix}$

$$\mathcal{L}_{cc} = -\frac{g}{\sqrt{2}} [(\bar{u}_L g^{\mu} d_L + \bar{\nu}_L g^{\mu} e_L) W_{\mu}^+ + \text{H.c.}]$$

Übergang zu phys. Feldern:

$$u_L = U_L^u u'_L, d_L = U_L^d d'_L, \nu_L = U_L^{\nu} \nu'_L, e_L = U_L^e e'_L$$

$$V_{CKM} = U_L^{u\dagger} U_L^d, V_{PMNS} = U_L^{e\dagger} U_L^{\nu}$$

Cabibbo - Kobayashi - Maskawa

Pontecorvo - Reki - Nakagawa - Sakata

$$\boxed{\mathcal{L}_{cc} = -\frac{g}{2\sqrt{2}} \left[ (\bar{u}' g^{\mu} (1-\gamma_5) V_{CKM} d' + \bar{\nu}' g^{\mu} (1-\gamma_5) V_{PMNS}^+ e') W_{\mu}^+ + \text{H.c.} \right]}$$

V-A - Strom

Bem. zu  $\nu$ -Massen:

ursprünglich keine Felder  $\nu_R$  im SM  $\Rightarrow$

a)  $\nu$ -Massen = 0

b)  $V_{PMNS} \rightarrow 1$

durch Wahl  $U_L^{\nu} = U_L^e$

## 8) Das Higgsboson und seine WW.

IX. 10

$$\phi(x) = e^{i \vec{B}(x) \cdot \frac{\vec{c}}{2}} \frac{1}{\sqrt{2}} \begin{pmatrix} 0 \\ v+h(x) \end{pmatrix} \xrightarrow[\text{Eichung}]{\text{unitäre}} \frac{1}{\sqrt{2}} \begin{pmatrix} 0 \\ v+h(x) \end{pmatrix}$$

Parameterisierung  
von  $\phi(x)$  durch  
4 reelle Funktionen

Ein phys. neutrales  
Skalar im SM  
= Higgsboson

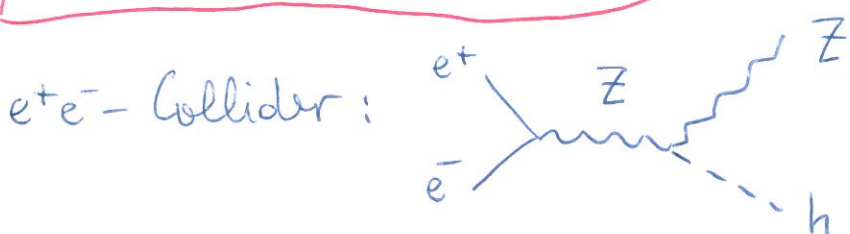
$$D_\mu \phi \rightarrow \frac{1}{\sqrt{2}} D_\mu \begin{pmatrix} 0 \\ v+h \end{pmatrix} = \frac{1}{\sqrt{2}} \left\{ \partial_\mu h \begin{pmatrix} 0 \\ 1 \end{pmatrix} + \frac{i g}{\sqrt{2}} W_\mu^+ \begin{pmatrix} 1 \\ 0 \end{pmatrix} (v+h) - \frac{i g}{2 c_W} Z_\mu \begin{pmatrix} 0 \\ 1 \end{pmatrix} (v+h) \right\}$$

$$\mathcal{L}_\phi = (D_\mu \phi)^+ (D^\mu \phi) \rightarrow$$

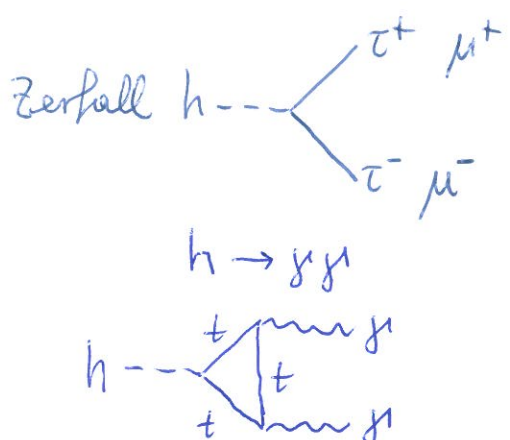
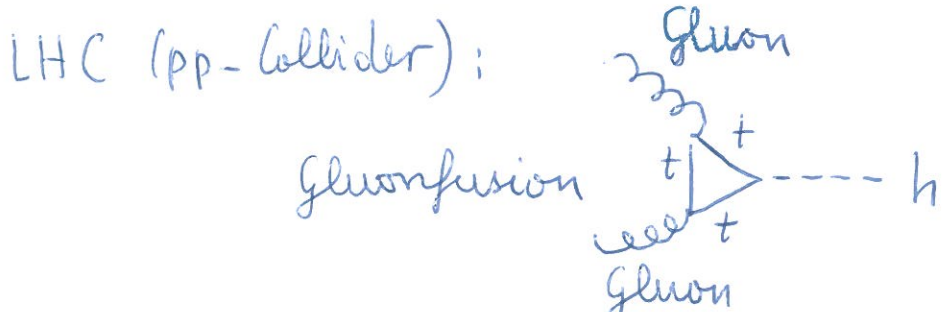
$$\mathcal{L}_{hV} = \frac{1}{2} \partial_\mu h \partial^\mu h + m_W^2 W_\mu^+ W^{-\mu} \left(1 + \frac{h}{v}\right)^2 + \frac{1}{2} m_Z^2 Z_\mu Z^\mu \left(1 + \frac{h}{v}\right)^2$$

$$V_h = \frac{1}{2} m_h^2 h^2 \left(1 + \frac{h}{2v}\right)^2, \quad m_h^2 = 2\lambda v^2$$

$$\mathcal{L}_{Yuk}^h = - \sum_f m_f \bar{f} f \left(1 + \frac{h}{v}\right)$$



$$m_h = 125 \text{ GeV}$$



9) QCD

$\lambda^a, a=1, \dots, 8$  Gell-Mann-Matrizen  $\rightarrow$  wirken auf Generatoren der  $SU(3)_c$  Colour-Indices

$$\mathcal{L}_{QCD} = \sum_{\psi = q_L, u_R, d_R} i \bar{\psi} \gamma^\mu (\not{\partial}_\mu + ig_s \frac{\lambda^a}{2} G_\mu^a) \psi - \frac{1}{4} \sum_{a=1}^8 G_{\mu\nu}^a G^{a\mu\nu}$$

$$\sum_{\psi = q_L, u_R, d_R} = \sum_{q=1, \dots, t} \leftarrow \text{phys. Felder}$$

$$G_{\mu\nu}^a = \partial_\mu G_\nu^a - \partial_\nu G_\mu^a - g_s f_{abc} G_\mu^b G_\nu^c$$

$$[\frac{\lambda_a}{2}, \frac{\lambda_b}{2}] = if_{abc} \frac{\lambda_c}{2}, f_{abc} \text{ totally antisymmetric}$$

$$\text{Tr}(\lambda_a \lambda_b) = 2 \delta_{ab}$$

$$\lambda_{1,2,3} = \begin{pmatrix} \tau_{1,2,3} & 0 \\ 0 & 0 \end{pmatrix}, \lambda_4 = \begin{pmatrix} 0 & 0 & 1 \\ 0 & 0 & 0 \\ 1 & 0 & 0 \end{pmatrix}, \lambda_5 = \begin{pmatrix} 0 & 0 & -i \\ 0 & 0 & 0 \\ i & 0 & 0 \end{pmatrix},$$

$$\lambda_6 = \begin{pmatrix} 0 & 0 & 0 \\ 0 & 0 & 1 \\ 0 & 1 & 0 \end{pmatrix}, \lambda_7 = \begin{pmatrix} 0 & 0 & 0 \\ 0 & 0 & -i \\ 0 & i & 0 \end{pmatrix}, \lambda_8 = \frac{1}{\sqrt{3}} \begin{pmatrix} 1 & 0 & 0 \\ 0 & 1 & 0 \\ 0 & 0 & -2 \end{pmatrix}$$

Quarks bez. Colour in 3-dim. irred.

Darstellung  $\underline{3}$  der  $SU(3)$ ,  $\underline{3}^* \not\propto \underline{3}$